



中国科学技术大学

University of Science and Technology of China

第八章 角度调制与解调

电子工程与信息科学系



内容提要



基本概念



调制信号通过非线性电路



调制信号通过网络



调频波的产生



鉴频原理与 电路

§8.1 基本概念

- 角度调制信号的数学表达式与波形
 - 调相波
 - 调频波
- 调频波频谱
 - 频谱
 - 带宽



§8.1.1 角度调制信号的数学表达式与波形

1. 调相波

$$u(t) = U \cos(\omega t + \varphi)$$

$$u_{PM}(t) = U_{PM} \cos[\omega_0 t + m_P s(t)] \quad \text{或} \quad u_{PM}(t) = U_{PM} \cos(\omega_0 t + m_P \cos \omega_m t)$$

$$\varphi(t) = k_P U_\Omega s(t) = m_P s(t) \quad \text{与基带信号成线性关系}$$

调相波的瞬时频率

$$\omega(t) = \frac{d[\omega_0 t + m_P s(t)]}{dt} = \omega_0 + m_P \frac{ds(t)}{dt}$$

$$\text{或} \quad \omega(t) = \omega_0 - m_P \omega_m \sin \omega_m t$$

§8.1.1 角度调制信号的数学表达式与波形

1. 调相波

$$u_{PM}(t) = U_{PM} \cos[\omega_0 t + m_p s(t)]$$

$$\varphi(t) = k_p U_{\Omega} s(t) = m_p s(t)$$

① $s(t)$: 基带信号 $s(t)$ 或 $\cos \omega_m t$

② k_p : 调相增益, 单位基带信号电压幅度引起的相位变化

③ m_p : 调相指数, 或最大相移 $m_p = k_p U_{\Omega}$

④ $\Delta\omega$: 最大频移 $\Delta\omega = m_p \omega_m$

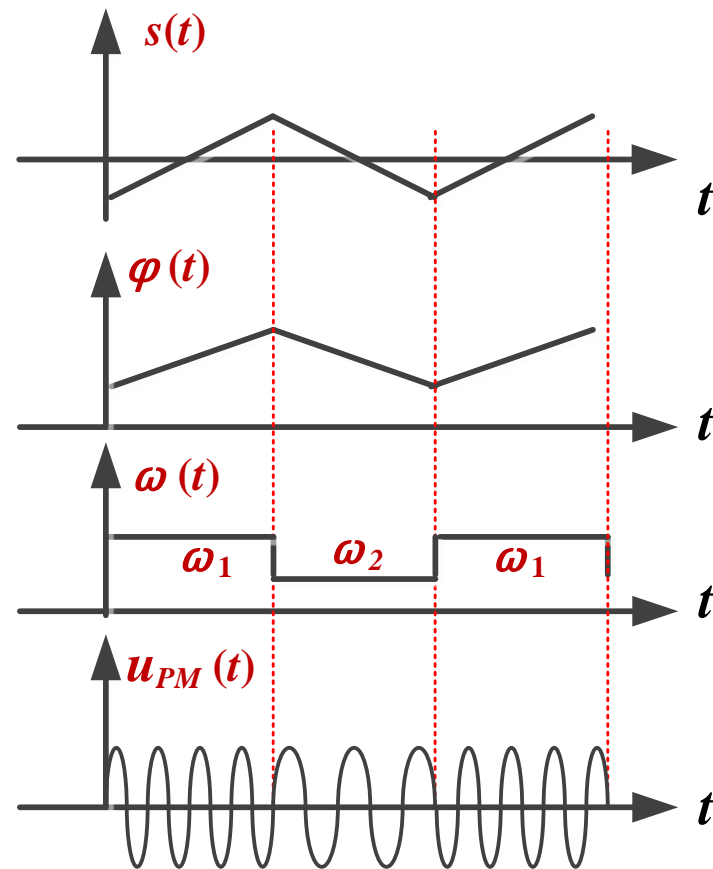
$$\omega(t) = \frac{d\varphi}{dt} = \frac{d}{dt}(\omega_0 t + m_p \cos \omega_m t) = \omega_0 - m_p \omega_m \sin \omega_m t$$

§8.1.1 角度调制信号的数学表达式与波形

1. 调相波

$$u_{PM}(t) = U_{PM} \cos[\omega_0 t + m_p s(t)]$$

$$\omega(t) = \frac{d[\omega_0 t + m_p s(t)]}{dt} = \omega_0 + m_p \frac{ds(t)}{dt}$$



§8.1.1 角度调制信号的数学表达式与波形

2. 调频波

$$\omega(t) = \omega_0 + k_f U_{\Omega} s(t) = \omega_0 + \Delta\omega s(t)$$

$$\varphi(t) = \int_0^t [\omega_0 + \Delta\omega s(\tau)] d\tau = \omega_0 t + \Delta\omega \int_0^t s(\tau) d\tau$$

$$u_{FM}(t) = U_{FM} \cos \left[\omega_0 t + \Delta\omega \int_0^t s(\tau) d\tau \right]$$

$$\text{或 } u_{FM}(t) = U_{FM} \cos \left[\omega_0 t + \frac{\Delta\omega}{\omega_m} \sin \omega_m t \right]$$

$$= U_{FM} \cos [\omega_0 t + m_f \sin \omega_m t] \quad ; \quad m_f = \frac{\Delta\omega}{\omega_m} = \frac{k_f V_{\Omega}}{\omega_m}$$

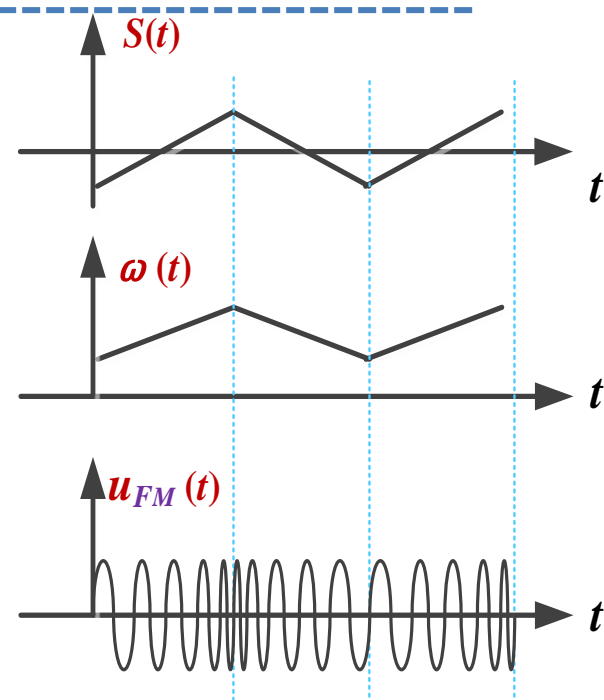
§8.1.1 角度调制信号的数学表达式与波形

2. 调频波

$$u_{FM}(t) = U_{FM} \cos \left[\omega_0 t + \Delta\omega \int_0^t s(\tau) d\tau \right]$$

$$\text{或 } u_{FM}(t) = U_{FM} \cos \left[\omega_0 t + \frac{\Delta\omega}{\omega_m} \sin \omega_m t \right]$$

$$= U_{FM} \cos \left[\omega_0 t + m_f \sin \omega_m t \right] \quad ; \quad m_f = \frac{\Delta\omega}{\omega_m}$$



① $s(t)$: 基带信号 $s(t)$ 或 $\cos \omega_m t$

② k_f : 调频增益, 单位基带信号电压幅度引起的频率变化

③ m_f : 调频指数, 最大相移

④ $\Delta\omega$: 最大频移 $\Delta\omega = k_f U_{\Omega} = m_f \omega_m$

§8.1.1 角度调制信号的数学表达式与波形

调相波和调频波的参数比较

调制方式	PM	FM
数学表达式	$u_{PM}(t) = U_{PM} \cos[\omega_0 t + m_p s(t)]$	$u_{FM}(t) = U_{FM} \cos\left[\omega_0 t + \Delta\omega \int_0^t s(\tau) d\tau\right]$
调制增益	调相增益 k_p	调频增益 k_f
调制指数	调相指数 m_p , $m_p = k_p U_\Omega$	调频指数 m_f
最大频移	$\Delta\omega = m_p \omega_m$	$\Delta\omega = k_f U_\Omega = m_f \omega_m$

§8.1.2 调频波频谱

1. 频谱

$$\frac{u_{FM}(t)}{U_{FM}} = \cos[\omega_0 t + m_f \sin \omega_m t] = \cos \omega_0 t \cos(m_f \sin \omega_m t) - \sin \omega_0 t \sin(m_f \sin \omega_m t)$$

$$\cos(m_f \sin \omega_m t) = J_0(m_f) + 2 \sum_{n=1}^{\infty} J_{2n}(m_f) \cos(2n \omega_m t) \quad \text{偶数阶贝塞尔函数}$$

$$\sin(m_f \sin \omega_m t) = 2 \sum_{n=0}^{\infty} J_{2n+1}(m_f) \sin[(2n+1) \omega_m t] \quad \text{奇数阶贝塞尔函数}$$

$$\begin{aligned} \frac{u_{FM}(t)}{U_{FM}} &= J_0(m_f) \cos \omega_0 t + J_1(m_f) [\cos(\omega_0 + \omega_m)t - \cos(\omega_0 - \omega_m)t] \\ &+ J_2(m_f) [\cos(\omega_0 + 2\omega_m)t + \cos(\omega_0 - 2\omega_m)t] + \dots \end{aligned}$$

$$u_{FM}(t) = U_{FM} \sum_{n=-\infty}^{\infty} J_n(m_f) \cos(\omega_0 + n\omega_m)t \quad \left\{ J_{-(2n+1)} = -J_{2n+1}, \quad J_{2n} = J_{-2n} \right\}$$

§8.1.2 调频波频谱

2. 带宽

$$u_{FM}(t) = U_{FM} \sum_{n=-\infty}^{\infty} J_n(m_f) \cos(\omega_0 + n\omega_m)t \quad \text{根据 } J_n(m_f) \text{ 的性质 (收敛)}$$

对任意给定 $\varepsilon > 0$, 总存在自然数 N , 当 $n > N$ 时, $J_n(m_f) < \varepsilon$

① 令 $\varepsilon = 0.1$, $N_{0.1}$, $J_n(m_f) < 0.1$ 的项都可以忽略

$$BW_{0.1} = 2N_{0.1}\omega_m$$

② 令 $\varepsilon = 0.01$, $N_{0.01}$, $BW_{0.01} = 2N_{0.01}\omega_m$

③ Carson公式定义带宽 $BW_{carson} = 2(m_f + 1)\omega_m = BW_{CR}$

④ $m_f \ll 1$, $BW_{Carson} \simeq 2\omega_m$

$m_f \gg 1$, $BW_{Carson} \simeq 2m_f\omega_m$

⑤ Carson公式亦适用于调相波的带宽估计

§8.1.2 调频波频谱

3. 功率关系

平均功率:

$$\frac{\overline{u_{FM}^2}}{R_L} = \frac{U_{FM}^2}{R_L} \sum_{n=-\infty}^{\infty} J_n^2(m_f) \cdot \frac{1}{2} = \frac{1}{2} \cdot \frac{U_{FM}^2}{R_L}$$

平均功率不随时间的变化而变化，恒包络特性

效率：边带信号的功率除以总功率

当 $m_f=2.405$ ， 5.52 等值时， $J_0(m_f)=0$ ，理论上可得100%的效率



内容提要



基本概念



调制信号通过非线性电路



调制信号通过网络



调频波的产生



鉴频原理与 电路

§8.2 调频信号通过非线性电路

1. FM通过倍频网络

$$u_{FM}(t) = U_{FM} \cos \left[\omega_0 t + \Delta\omega \int_0^t s(\tau) d\tau \right] \quad \text{不是周期信号}$$

$$\text{令} \quad t' = t + \frac{\Delta\omega}{\omega_0} \int_0^t s(\tau) d\tau$$

$$u_{FM}(t') = U_{FM} \cos \omega_0 t' \quad \text{为周期信号}$$



$u_{FM}(t')$ 和 $u_o(t')$ 在时间域 t' 内应有相同的周期，将 $u_o(t')$ 展开成傅里叶级数

$$u_o(t') = a_0 + \sum_{n=1}^{\infty} a_n \cos(n\omega_0 t') \quad u_o(t) = a_0 + \sum_{n=1}^{\infty} a_n \cos \left[n\omega_0 t + n\Delta\omega \int_0^t s(\tau) d\tau \right]$$

§8.2 调频信号通过非线性电路

1. FM通过倍频网络

$$u_{FM}(t) = U_{FM} \cos \left[\omega_0 t + \Delta \omega \int_0^t s(\tau) d\tau \right]$$

$$u_o(t) = a_0 + \sum_{n=1}^{\infty} a_n \cos \left[n\omega_0 t + n\Delta \omega \int_0^t s(\tau) d\tau \right]$$

ω_m 不变

$$\omega_0 \rightarrow n\omega_0$$

$$\Delta \omega \rightarrow n\Delta \omega$$

$$D_n = \frac{n\Delta \omega}{n\omega_0} = \frac{\Delta \omega}{\omega_0} = D_1$$

相对频偏

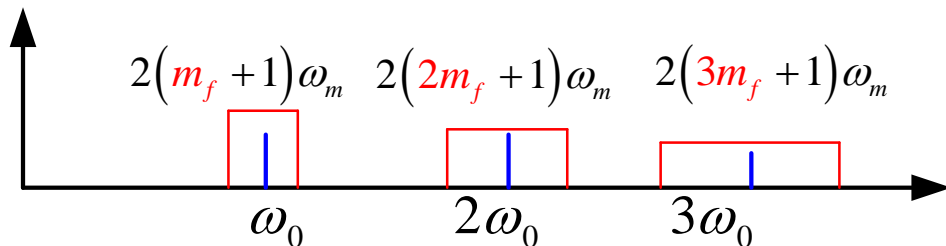
$$D = \frac{\Delta \omega}{\omega_0}$$

$$m_f = \frac{\Delta \omega}{\omega_m} \rightarrow \frac{n\Delta \omega}{\omega_m} = nm_f$$

调频指数增加 n 倍，可用于扩展 m_f

§8.2 调频信号通过非线性电路

1. FM通过倍频网络



$$(m_f + 1)\omega_m + (2m_f + 1)\omega_m < \omega_0$$

$$(2m_f + 1)\omega_m + (3m_f + 1)\omega_m < \omega_0$$

$$\vdots$$

$$(nm_f + 1)\omega_m + [(n+1)m_f + 1]\omega_m < \omega_0$$

$$(2n+1)m_f + 2 < \frac{\omega_0}{\omega_m} = \frac{m_f}{D}$$

$$D < \frac{m_f}{(2n+1)m_f + 2}$$

§8.2 调频信号通过非线性电路

2. FM通过混频网络

$$\left. \begin{array}{l} \omega_0 \rightarrow \omega_I = \omega_L \pm \omega_0 \\ \Delta\omega \rightarrow \text{不变} \\ \omega_m \rightarrow \text{不变} \end{array} \right\} \begin{array}{l} m_f = \frac{\Delta\omega}{\omega_m} \text{ 不变, 即调角指数不变} \\ D \rightarrow D' = \frac{\Delta\omega}{\omega_L \pm \omega_0} \end{array}$$

高中频: $\omega_I = \omega_L + \omega_0 + \Delta\omega s(t)$

低中频: $\omega_I = \omega_L - \omega_0 - \Delta\omega s(t)$



§8.2 调频信号通过非线性电路

例8.2.1 求 $u_o(t)$

调频波参数

$$u_{FM}(t) = 100 \cos \left[10^7 t + 10^5 \int_0^t s(\tau) d\tau \right] (mV)$$

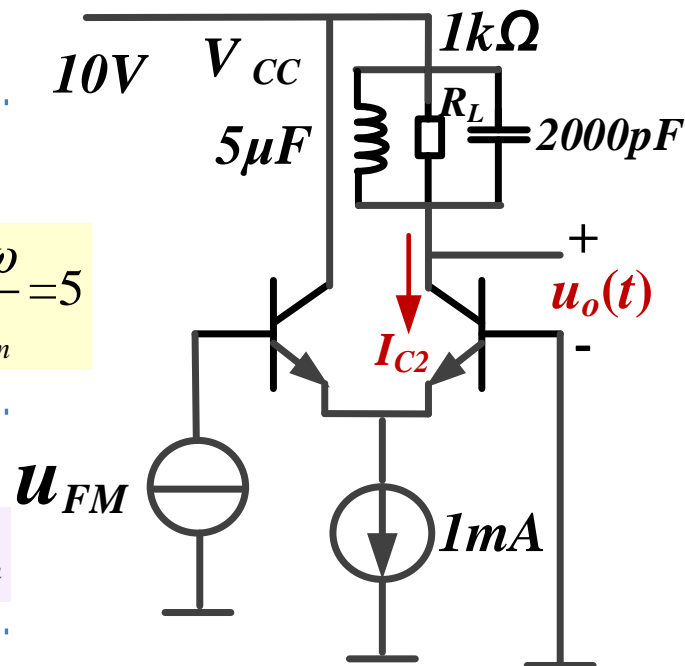
$$\omega_m = 2 \times 10^4 \text{ rad/s}$$

$$m_f = \frac{\Delta\omega}{\omega_m} = 5$$

输出回路参数

$$\omega_0 = 10^7 \text{ rad/s}, \quad \omega_{3dB} = 5 \times 10^5 \text{ rad/s}$$

$$2\omega_0 > (4m_f + 2)\omega_m$$



$$i_{C2} \text{ 中的基波电流幅度为 } I_{C2,1} = I_K a_1 \left(\frac{100}{26} \right) = 0.55 \text{ mA}$$

$$\text{输出电压: } u_o(t) = V_{CC} + I_{C2,1} R_L \cos \left[10^7 t + 10^5 \int_0^t s(\tau) d\tau \right]$$

差分，双曲特性

动态限幅

- ① 输出信号频率输入信号频率关系变化
- ② 输出回路带宽是否满足Carson带宽
- ③ 相位关系（同相or反相）

内容提要



基本概念



调制信号通过非线性电路



调制信号通过网络



调频波的产生



鉴频原理与 电路

§8.4.1 概述

1、性能指标

(1)、调频线性 $f - f_0 = \Delta f = k_f U_\Omega$ 调频波的瞬时频率与基带信号幅度成线性

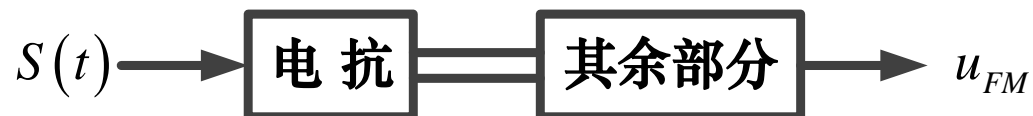
(2)、调频灵敏度 $k_f = \left. \frac{\Delta f}{U_\Omega} \right|_{f=f_0}$ 单位基带信号电压引起的频率变化量

(3)、载波频率的稳定度



§8.4.1 概述

2、直接调频电路

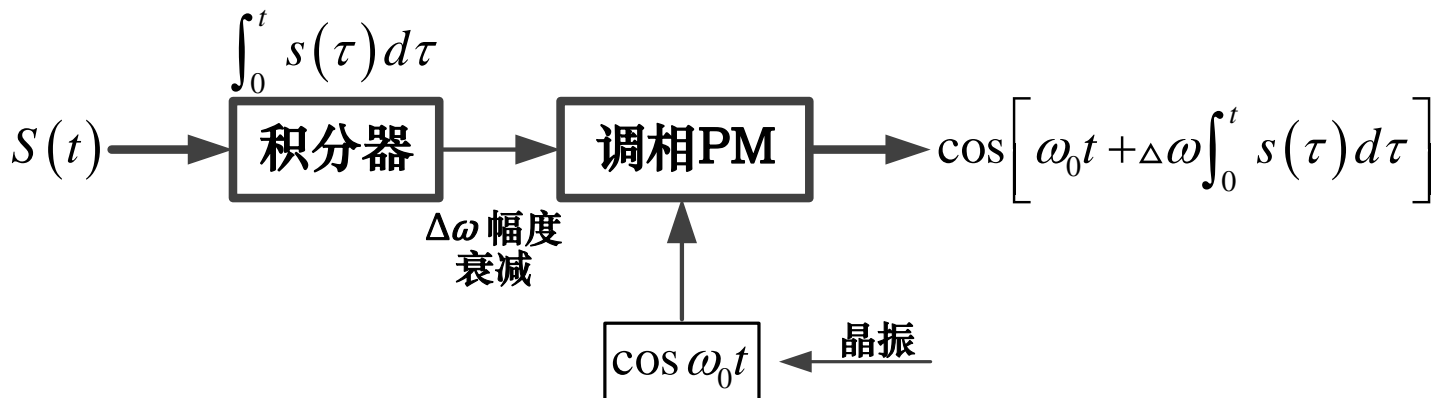


- (1)、直接控制振荡器的电抗，如变容二极管等
- (2)、电路简单，频率高
- (3)、 f_0 稳定度和准确度差，线性度差



§8.4.1 概述

3、间接调频电路



- (1)、工作频率低
- (2)、电路复杂
- (3)、 f_0 稳定性和准确性好
- (4)、 m_f 小, $\Delta \omega$ 小

§8.4.2 变容管调频

1、原理

反偏工作



$$u_C = U_Q + U_\Omega \cdot s(t)$$

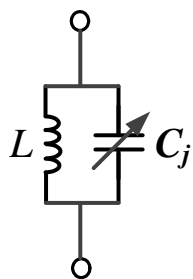
$$C_j(u) = C_{j0} \left(1 + \frac{u_C}{U_\phi} \right)^{-\gamma} = C_{jQ} [1 + M \cdot s(t)]^{-\gamma}$$

$$C_{jQ}(u) = C_{j0} \left(1 + \frac{U_Q}{U_\phi} \right)^{-\gamma} \quad M = \frac{U_\Omega}{U_\phi + U_Q}$$

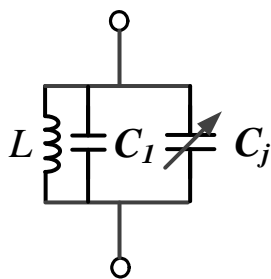
零偏电容、接触电位差、变容指数、归一化控制电压幅度

§8.4.2 变容管调频

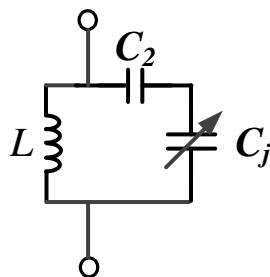
2、 C_j 在LC谐振回路中的接法



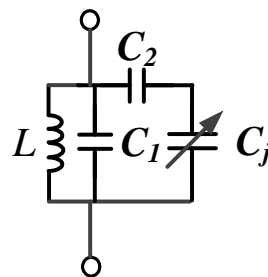
$$\begin{pmatrix} A=1 \\ B=0 \end{pmatrix}$$



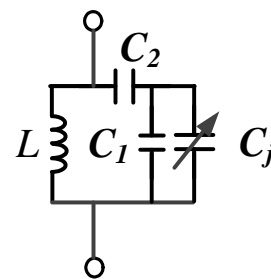
$$\begin{pmatrix} A = \frac{C_{jQ}}{C_{jQ} + C_1} \\ B = 0 \end{pmatrix}$$



$$\begin{pmatrix} A=1 \\ B = \frac{C_{jQ}}{C_{jQ} + C_2} \end{pmatrix}$$



$$\begin{pmatrix} A = \frac{C_{jQ}}{C_{jQ} + \frac{C_1 C_2}{C_1 + C_2}} \\ B = \frac{C_{jQ}}{C_{jQ} + C_2} \end{pmatrix}$$



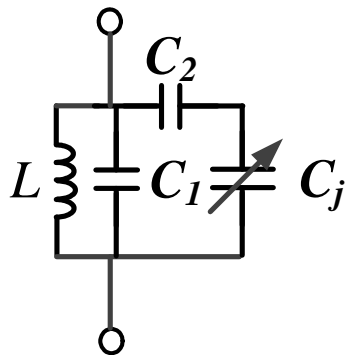
$$\begin{pmatrix} A = \frac{C_{jQ}}{C_{jQ} + C_1} \\ B = \frac{C_{jQ}}{C_{jQ} + C_1 + C_2} \end{pmatrix}$$

$$A = \frac{C_{jQ}}{C_{jQ} + C_{open}}, \quad B = \frac{C_{jQ}}{C_{jQ} + C_{short}}$$

Copen: L开路时, 从 C_j 向外看的电容

Cshort: L短路时, 从 C_j 向外看的电容

§8.4.2 变容管调频



$$\omega = \left[L \left(C_1 + \frac{C_2 C_j}{C_2 + C_j} \right) \right]^{-1/2} = \omega_0 \sqrt{\frac{B + (1-B)[1 + M \cdot s(t)]^\gamma}{A + (1-A)[1 + M \cdot s(t)]^\gamma}}$$

$$\text{其中 } \omega_0 = \left[L \left(C_1 + \frac{C_2 C_{jQ}}{C_2 + C_{jQ}} \right) \right]^{-1/2}$$

$$\omega(t) = \omega_0 [1 + D_1 s(t) + D_2 s^2(t) + \dots]$$

$$\text{或 } \omega(t) = \omega_0 \left[\left(1 + \frac{1}{2} D_2 + \dots \right) + (D_1 \cos \omega_m t + \dots) + \left(\frac{1}{2} D_2 \cos 2\omega_m t + \dots \right) + \dots \right]$$

$$D_1 = \frac{1}{2} M \gamma (A - B)$$

$$D_2 = \frac{1}{8} M \gamma^2 (A - B) (3\gamma A + \gamma B - 2\gamma - 2)$$



§8.4.2 变容管调频

① 最大频偏 $\Delta\omega = D_1\omega_0$

$$\omega(t) = \omega_0 [1 + D_1 s(t) + D_2 s^2(t) + \dots]$$

$$\text{或 } \omega(t) = \omega_0 \left[\left(1 + \frac{1}{2} D_2 + \dots \right) + (D_1 \cos \omega_m t + \dots) + \left(\frac{1}{2} D_2 \cos 2\omega_m t + \dots \right) + \dots \right]$$

② 调频增益 $k_f = \frac{\Delta\omega}{U_\Omega} = \frac{D_1\omega_0}{U_\Omega}$

③ 中心频率的飘移 $\varepsilon = \frac{\overline{\omega(t)} - \omega_0}{\omega_0}$

$$\overline{\omega(t)} = \omega_0 [1 + D_1 \overline{s(t)} + D_2 \overline{s^2(t)} + \dots] = \omega_0 [1 + D_2 \overline{s^2(t)} + \dots]$$

$$\varepsilon = \frac{\overline{\omega(t)} - \omega_0}{\omega_0} = D_2 \overline{s^2(t)} \text{ 或 } \varepsilon = \frac{D_2}{2}$$

④ 调频非线性系数:

最大的非线性频移/最大的线性频移

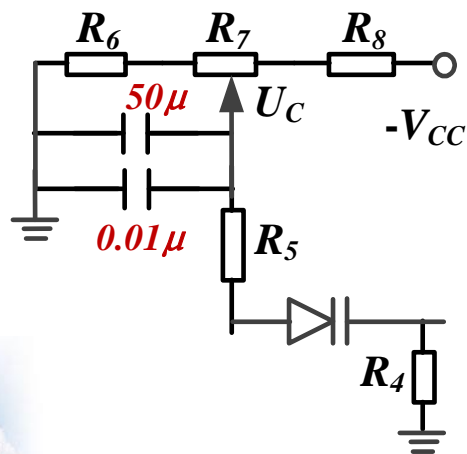
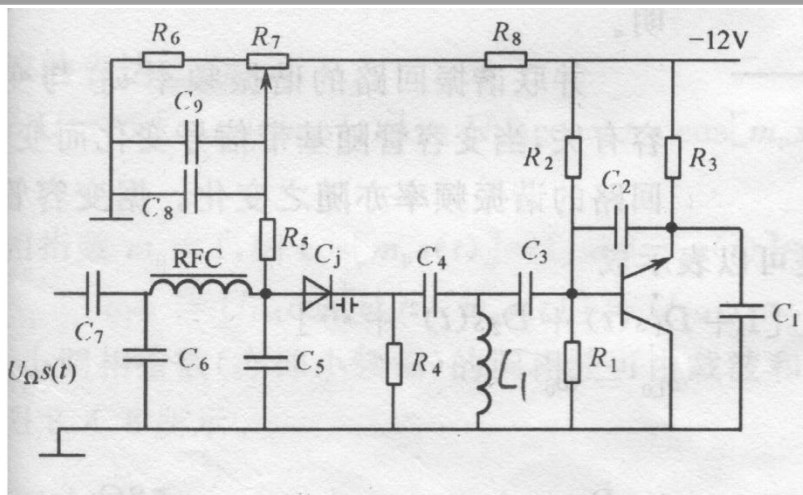
$$D_1 = \frac{1}{2} M \gamma (A - B)$$

$$\delta = \frac{D_2}{2D_1} \Leftrightarrow D_2 \text{ 小, } D_1 \text{ 大}$$

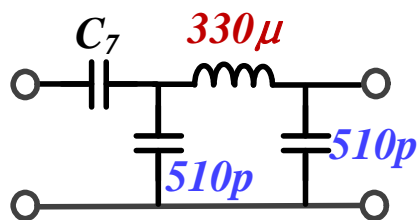
$$D_2 = \frac{1}{8} M \gamma^2 (A - B) (3\gamma A + \gamma B - 2\gamma - 2)$$

§8.4.2 变容管调频

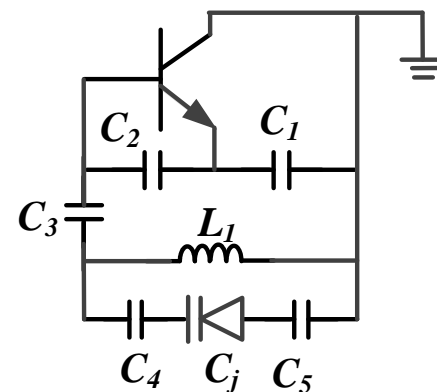
例8.4.1



C_j 的偏置电路

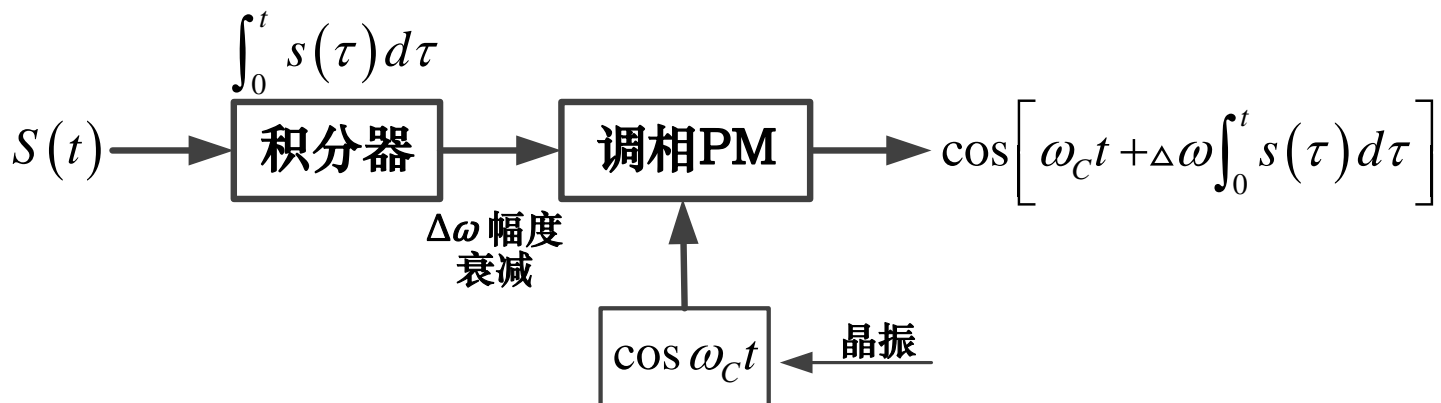


音频控制部分



共集 Siller 电路

§8.4.3 间接调频



$$u_{FM} = U_{FM} \cos \left[\omega_c t + y(t) \right] \longrightarrow \text{调相电路即是将两输入信号相位相加}$$

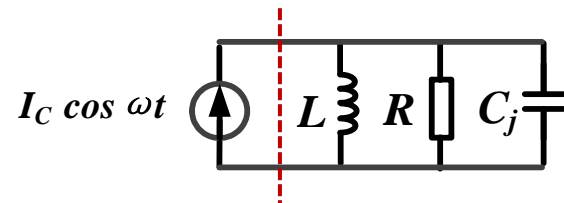
$$= U_{FM} \cos \left[\omega_c t + \Delta\omega \int_0^t s(\tau) d\tau \right] \longrightarrow \text{由此表达式看, 已实现了调频}$$

实现：积分器较容易；窄带调相电路关键

§8.4.3 间接调频

1、谐振回路调相

$$C_j(t) = C_{jQ} [1 + M \cdot s(t)]^{-\gamma} \quad M = \frac{U_\Omega}{U_\phi + U_\Omega}$$



回路对激励电流呈现的阻抗:

$$Z = \frac{R}{1 + jQ \left(\frac{\omega_c}{\omega_0(t)} - \frac{\omega_0(t)}{\omega_c} \right)} \quad \omega_0(t) = \frac{1}{\sqrt{LC_j(t)}} = \omega_0 [1 + D_1 s(t)]$$

$$\frac{\omega_c}{\omega_0(t)} - \frac{\omega_0(t)}{\omega_c} = \frac{[\omega_c + \omega_0(t)][\omega_c - \omega_0(t)]}{\omega_c \omega_0(t)} \approx \frac{2\omega_c [\omega_c - \omega_0(t)]}{\omega_c \omega_0(t)} = 2 \frac{\omega_c - \omega_0(t)}{\omega_0(t)}$$

$$Z = \frac{R}{1 + 2jQ \frac{-D_1 s(t)}{1 + D_1 s(t)}} \quad \begin{aligned} \omega_c &= \omega_0 \\ \omega_c - \omega_0(t) &= -D_1 s(t) \omega_0 \end{aligned}$$

§8.4.3 间接调频

$$Z = \frac{R}{1 + 2jQ \frac{-D_1 s(t)}{1 + D_1 s(t)}} = |Z| e^{j\varphi}$$

$$|Z| = \frac{R}{\sqrt{1 + \left[\frac{2QD_1 s(t)}{1 + D_1 s(t)} \right]^2}} \approx R, \quad [2QD_1 s(t) \ll 1]$$

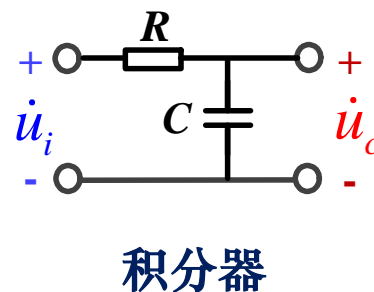
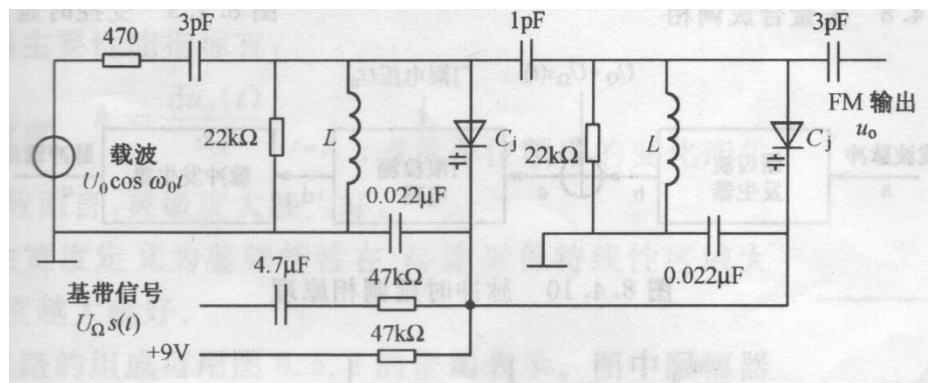
D_1 很小, M 很小, m_p 也很小

$$\varphi = -tg^{-1} \frac{-2QD_1 s(t)}{1 + D_1 s(t)} \approx 2QD_1 s(t) = QM \gamma(A - B) \cdot s(t) = m_p s(t)$$

谐振频率 ω_0 略有偏移时, 幅度变化产生寄生调幅, 很小, 可以忽略
相位为线性变化, 形成调相

§8.4.3 间接调频

例：课本P151，图8.4.6为间接调频实例

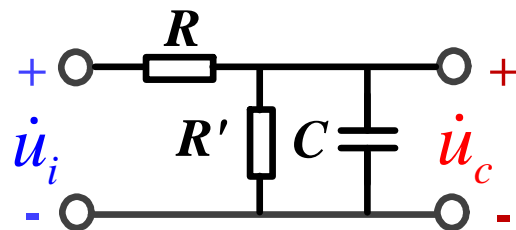


积分器：
$$\frac{u_c}{u_i} = \frac{1}{1+j\omega_m RC} \approx \frac{1}{j\omega_m RC} \quad \text{条件：} \omega_m RC \gg 1$$

若 $\omega_m RC \gg 1$ 不满足，起不到积分器的作用

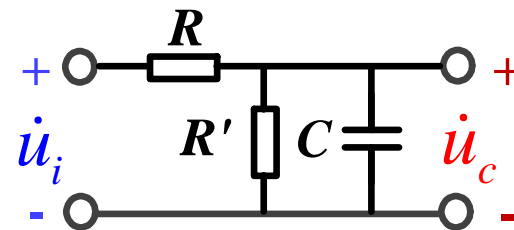
若考虑变容管的偏置电阻 R' 的影响

$$\frac{u_c}{u_i} = \frac{\frac{R'}{1+j\omega R'C}}{R + \frac{R'}{1+j\omega R'C}} = \frac{R'}{R+R'} \cdot \frac{1}{1+j\omega_m \frac{RR'}{R+R'} C}$$



§8.4.3 间接调频

$$\frac{u_c}{u_i} = \frac{R'}{R + R'} \cdot \frac{1}{1 + j\omega_m \frac{RR'}{R + R'} C}$$



若虚部 $\omega_m C (R \parallel R') \gg 1$, 则

$$\frac{u_c}{u_i} \approx \frac{R'}{(R + R')} \cdot \frac{1}{j\omega_m \frac{RR'}{R + R'} C} = \frac{1}{j\omega_m RC}$$



§8.4.3 间接调频

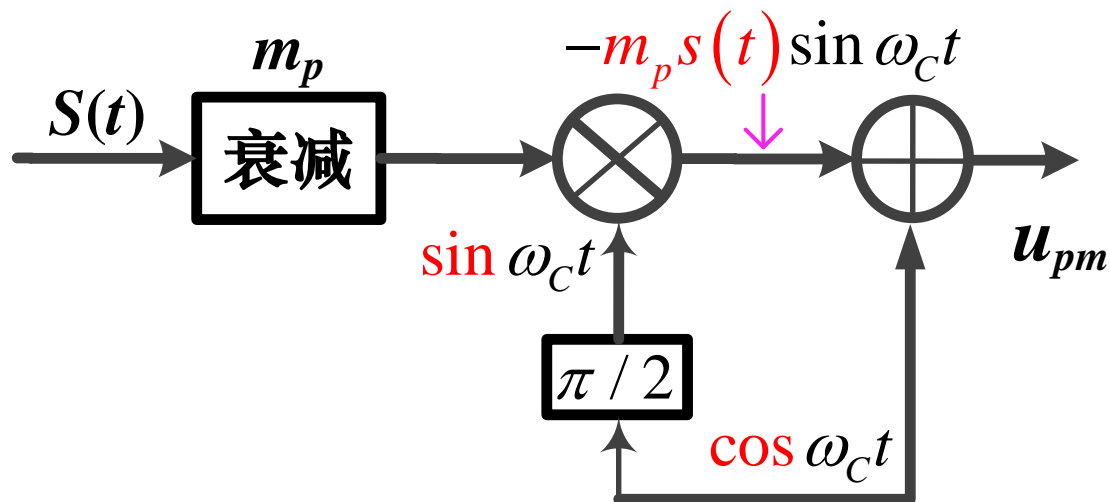
2、矢量合成调相

$$u_{PM} = U_{PM} \cos[\omega_C t + m_p s(t)]$$

$$\frac{u_{PM}}{U_{PM}} = \cos \omega_C t \cos[m_p s(t)] - \sin \omega_C t \sin[m_p s(t)]$$

$$m_p \ll 1$$

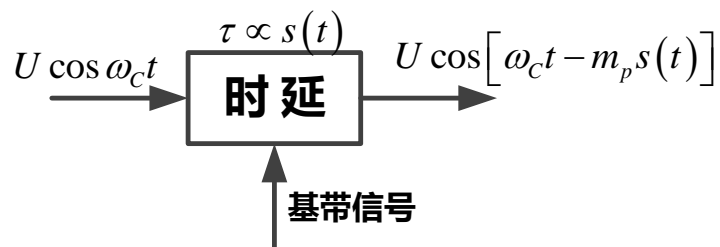
$$\approx \cos \omega_C t - m_p s(t) \sin \omega_C t$$



§8.4.3 间接调频

3、时延法调相

$$u_{PM} = U_{PM} \cos[\omega_C t + m_p s(t)] \quad m_p \ll 1$$



$$\begin{aligned} & \cos \omega_C (t - \tau) \\ &= \cos(\omega_C t - \omega_C \tau) = \cos[\omega_C t - m_p s(t)] \quad \tau \propto s(t) \end{aligned}$$

内容提要



基本概念



调制信号通过非线性电路



调制信号通过网络



调频波的产生



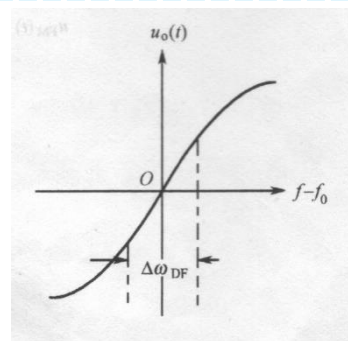
鉴频原理与电路

§8.5.1 鉴频

鉴频：从调频波中恢复出基带信号

1、消除寄生调幅

- ① 二极管对
- ② 动态限幅（如，差分放大等）



2、鉴频电路的要求

- ① 鉴频线性度：保证信号不失真 $u_o = a\omega + b$
- ② 鉴频宽度（鉴宽）： $BW_F > BW_{CR}$ 大于Carson带宽

保证基带信号信息落入接收带宽内，鉴频后信号不失真

- ③ 鉴频灵敏度： $k_{Df} = \frac{du_o}{d\omega}$ 或 $k_{Df} = \frac{du_o}{df}$

输入的频率变化在输出端引起相应的信号电压幅度变化

§8.5.2 鉴频方法概述


1、利用PLL的鉴频鉴相：用VCO跟踪 ν_{FM} 的频率


2、先微分再检波



设：
$$\frac{u_{FM}}{U_{FM}} = \cos \left[\omega_c t + \Delta\omega \int_0^t s(\tau) d\tau \right]$$

$$\frac{du_{FM}}{dt} = -\sin \left[\omega_c t + \Delta\omega \int_0^t s(\tau) d\tau \right] \cdot \left[\omega_c + \Delta\omega \cdot s(t) \right]$$


调频

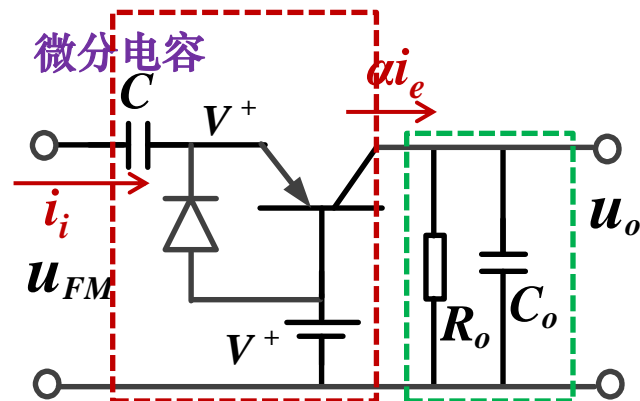

调幅

变换为调幅调频波，检波可得包络信息

§8.5.3 直接微分鉴频

1、基本电路

- 1) 忽略三极管和二极管理导通电压的影响
- 2) u_{FM} 正半周时，三极管发射结导通
- 3) u_{FM} 负半周时，二极管导通，
电容C上不产生自生负偏压



设： $u_{FM}(t) = U \cos \left[\omega_c t + \Delta \omega \int_0^t s(\tau) d\tau \right]$

电容C上的电压： $u_C = u_{FM} - V^+$

C上流过的电流：
$$i_i = C \frac{du_C}{dt} = C \frac{d(u_{FM} - V^+)}{dt} = C \frac{du_{FM}}{dt}$$

$$= -CU \sin \left[\omega_c t + \Delta \omega \int_0^t s(\tau) d\tau \right] \cdot [\omega_c + \Delta \omega \cdot s(t)]$$

$$= -CU \sin \left[\omega_c t + \Delta \omega \int_0^t s(\tau) d\tau \right] \cdot \underline{\omega_i(t)}$$

将FM信号 → 幅度随 ω 变化的AM-FM信号 → 半波整流

§8.5.3 直接微分鉴频

令三极管: $U_T = 0$

则EB导通角: $\varphi = \frac{\pi}{2}$

→ $I_P = \alpha I_i = \alpha C U \omega_i(t)$

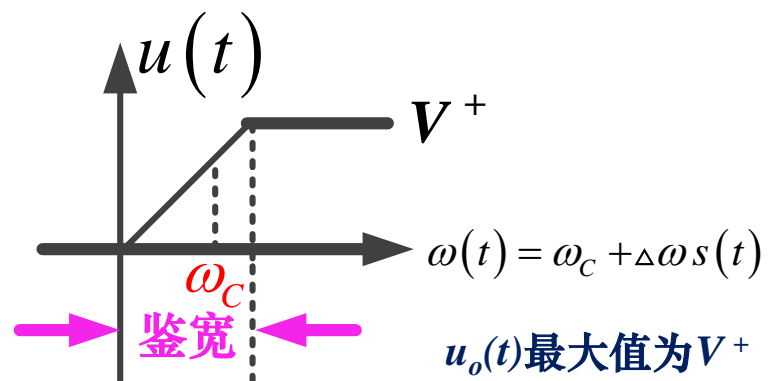
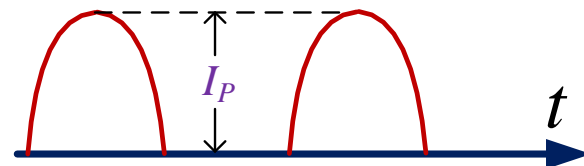
→ $I_{o0} = \frac{I_P}{\pi} = \frac{\alpha C U \omega_i(t)}{\pi}$

→ $u_o(t) = I_{o0} R_o = \frac{\alpha C U R_o [\omega_C + \Delta \omega s(t)]}{\pi}$

$R_o C_o$ 组成LPF, 截止频率 ω_h : $\omega_h \gg \omega_m$

→ 让 $s(t)$ 信号完整通过, 滤除载波信号

结论: 当 $\omega(t) = \omega_C$ 时, (即 $s(t) = 0$), $u_o \neq 0$, 有直流分量。



$u_o(t)$ 最大值为 V^+
因三极管饱和所致
($U_B \geq U_C$)

鉴频增益

$$k = \frac{\alpha C R_o}{\pi}$$

§8.5.3 直接微分鉴频

2、改进电路

增加对偶电路：正半周 T_1 导通，负半周 T_2 导通

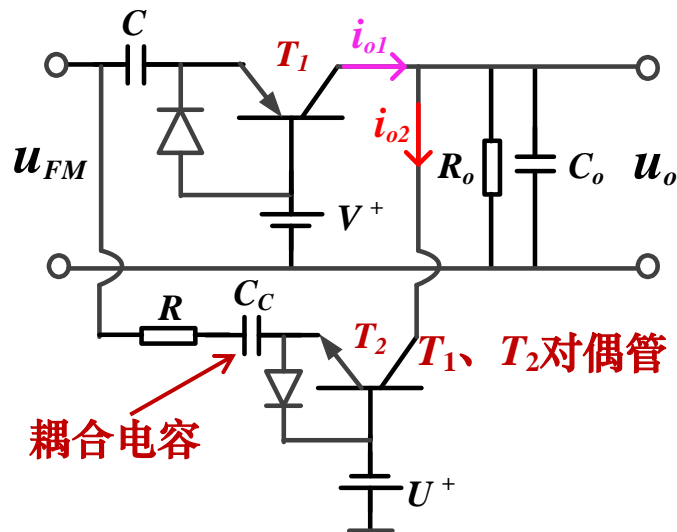
R 上的峰值电流 $I_P = \frac{U}{R}$ ，固定值，和 $s(t)$ 无关

$$u_o = (\bar{i}_{o1} - \bar{i}_{o2}) R_o = \frac{\alpha C R_o U}{\pi} [\omega_C + \Delta\omega \cdot s(t)] - \frac{\alpha R_o U}{\pi R}$$

$$= \frac{\alpha C R_o U}{\pi} \left[\omega_C + \Delta\omega \cdot s(t) - \frac{1}{RC} \right]$$

令 $RC = \frac{1}{\omega_C}$ (R 在 T_2 支路， C 在 T_1 支路)

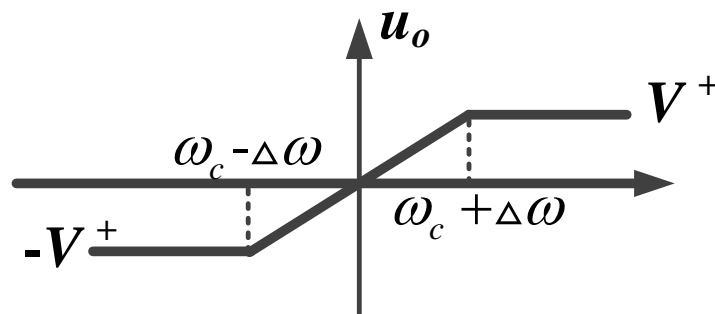
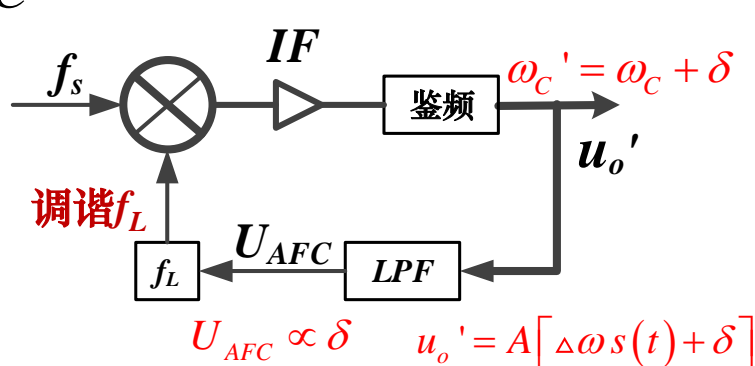
$$u_o(t) = \frac{\alpha C U R_o}{\pi} \cdot \Delta\omega \cdot s(t)$$



§8.5.3 直接微分鉴频

特点：① $\omega(t) = \omega_c$ 时 $u_o(t) = 0$

因 $\frac{1}{RC}$ 稳定性较差(10^{-2}), 若与 ω_c 不匹配, 会带来误差



引入AFC, 改变混频器的本振, 使 ω_c 随 $\frac{1}{RC}$ 变化, 调整电路输出到理想状态

② 鉴频灵敏度

$$k_{df\text{单}} \leq \frac{U^+}{\omega_c + \Delta\omega}$$

$$k_{df\text{双}} \leq \frac{2U^+}{2\Delta\omega} = \frac{U^+}{\Delta\omega}$$

§8.5.4 斜率鉴频器

斜率鉴频器：利用线性网络幅频特性

1、基本电路

传输函数 $H(\omega)$ 或 $Z(\omega)$ 的幅度随 ω 作线性变化，
即将将FM信号 \rightarrow 幅度随 ω 变化的AM-FM信号

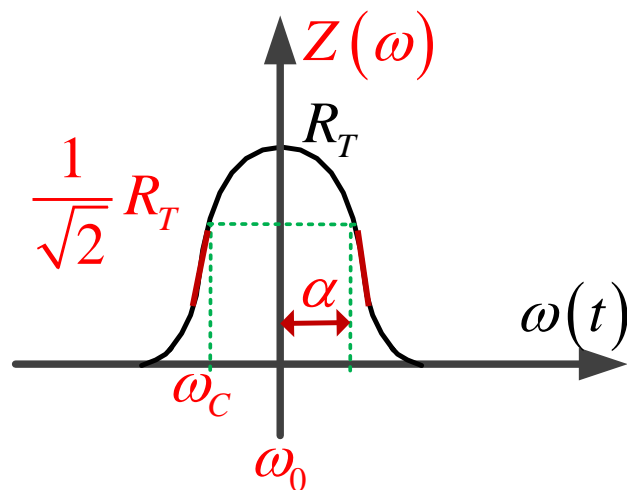
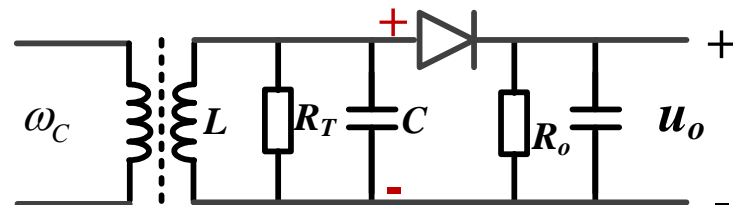
$$Z(\omega) = \frac{R_T}{1 + jQ \left(\frac{\omega}{\omega_0} - \frac{\omega_0}{\omega} \right)}$$

$$\omega = \omega_c + \Delta\omega s(t)$$

$$\frac{\omega}{\omega_0} - \frac{\omega_0}{\omega} = \frac{(\omega + \omega_0)(\omega - \omega_0)}{\omega\omega_0} \approx \frac{2\omega(\omega - \omega_0)}{\omega\omega_0} = 2 \frac{\omega - \omega_0}{\omega_0}$$

$$\text{又 } Q = \frac{\omega_0}{\Delta\omega_{3dB}} = \frac{\omega_0}{2\alpha}$$

$$\text{得到 } |Z(\omega)| = \frac{R_T}{\sqrt{1 + \left(2Q \frac{\omega - \omega_0}{\omega_0} \right)^2}} = \frac{R_T}{\sqrt{1 + \left(\frac{\omega - \omega_0}{\alpha} \right)^2}}$$



寻找阻抗幅度随 ω 作线性变化大的区域

§8.5.4 斜率鉴频器

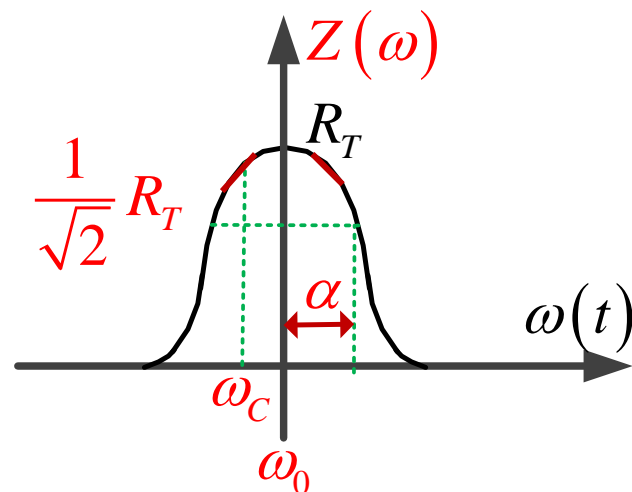
$$|Z(\omega)| = \frac{R_T}{\sqrt{1 + \left(2Q \frac{\omega - \omega_0}{\omega_0}\right)^2}} = \frac{R_T}{\sqrt{1 + \left(\frac{\omega - \omega_0}{\alpha}\right)^2}}$$

令: $\xi = \frac{\omega - \omega_0}{\alpha} = \frac{\omega_c - \omega_0}{\alpha} + \frac{\Delta\omega \cdot s(t)}{\alpha} = \xi_0 + \xi(t)$

$$\xi_0 = \frac{\omega_c - \omega_0}{\alpha}$$

$$\xi(t) = \frac{\Delta\omega \cdot s(t)}{\alpha}$$

$$\text{当 } \frac{\Delta\omega}{\alpha} \ll 1 \text{ 时}$$



$$\omega = \omega_c + \Delta\omega s(t)$$

$$|Z(\xi)| = |Z(\xi_0)| + \frac{d|Z|}{d\xi} (\xi - \xi_0) + \frac{d^2|Z|}{d\xi^2} \cdot \frac{1}{2} (\xi - \xi_0)^2 + \dots$$

$$\frac{d|Z|}{d\xi}$$

最大

← 最大的非线性项, 令其为0

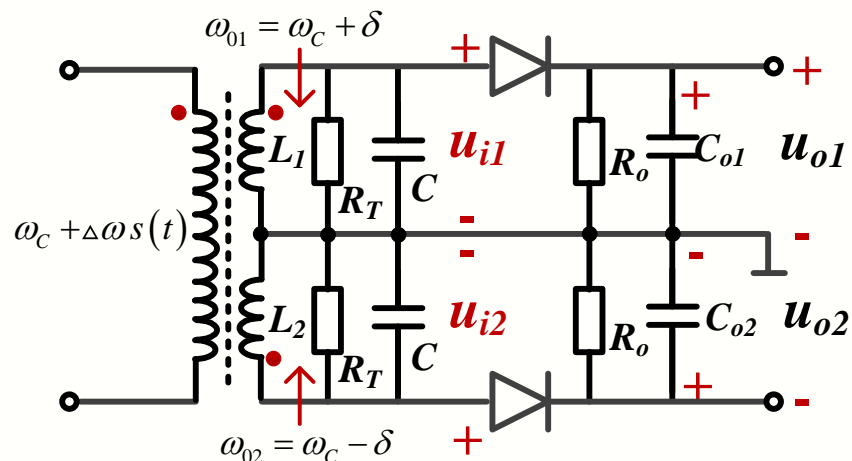
得到 $\xi_0 = \pm \frac{1}{\sqrt{2}}$, 即 $\omega_c = \omega_0 \pm \frac{\alpha}{\sqrt{2}}$ 线性最好

§8.5.4 斜率鉴频器

2、改进电路平衡鉴频器：多加一个支路，消除直流的影响

上下两个支路输入端谐振频率：

$$\begin{cases} \omega_{01} = \omega_C + \delta \\ \omega_{02} = \omega_C - \delta \end{cases} \quad (\text{调节 } L_1, L_2)$$



$$\omega = \omega_c + \Delta\omega s(t)$$

$$\text{令: } \frac{\omega - \omega_{01}}{\alpha} = \frac{\omega - \omega_C - \delta}{\alpha} = \frac{\Delta\omega}{\alpha} s(t) - \frac{\delta}{\alpha} = x - a$$

$$x = \frac{\Delta\omega}{\alpha} s(t)$$

$$a = \frac{\delta}{\alpha}$$

$$|Z(\omega)| = \frac{R_T}{\sqrt{1 + \left(\frac{\omega - \omega_0}{\alpha}\right)^2}}$$



$$|Z_1| = \frac{R_T}{\sqrt{(1 + x^2 + a^2) - 2ax}}$$

$$|Z_2| = \frac{R_T}{\sqrt{(1 + x^2 + a^2) + 2ax}}$$

§8.5.4 斜率鉴频器

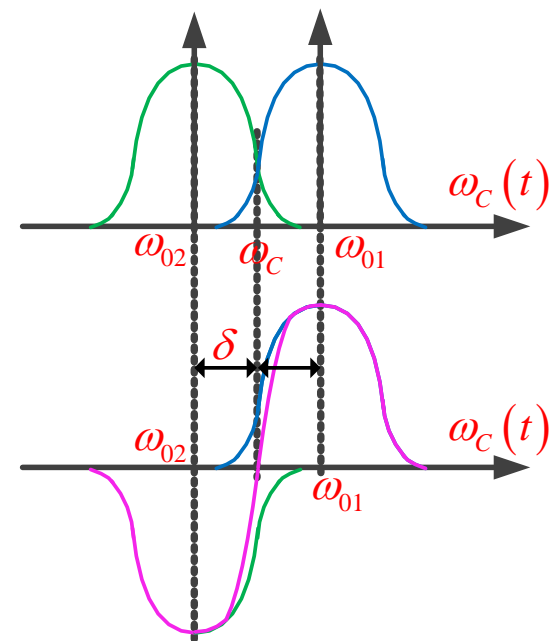
$$u_o(t) = u_{o1}(t) - u_{o2}(t) = k(U_{i1} - U_{i2}) = kI(|Z_1| - |Z_2|)$$

$$|Z_1| = \frac{R_T}{\sqrt{(1+x^2+a^2)-2ax}}$$

$$|Z_2| = \frac{R_T}{\sqrt{(1+x^2+a^2)+2ax}}$$

$$\frac{|Z_T|}{R_T} = \frac{|Z_1| - |Z_2|}{R_T} = \left| \frac{Z_T}{R_T} \right|' \cdot x + \frac{1}{3!} \left| \frac{Z_T}{R_T} \right|''' x^3 + \dots$$

$$\text{令 } \left| \frac{Z_T}{R_T} \right|''' = 0, \quad \Rightarrow \quad a = \frac{\delta}{\alpha} = \sqrt{\frac{3}{2}} \quad \Rightarrow \quad \frac{|Z_T|}{R_T} \doteq \frac{4}{5} \sqrt{\frac{3}{5}} \cdot x$$

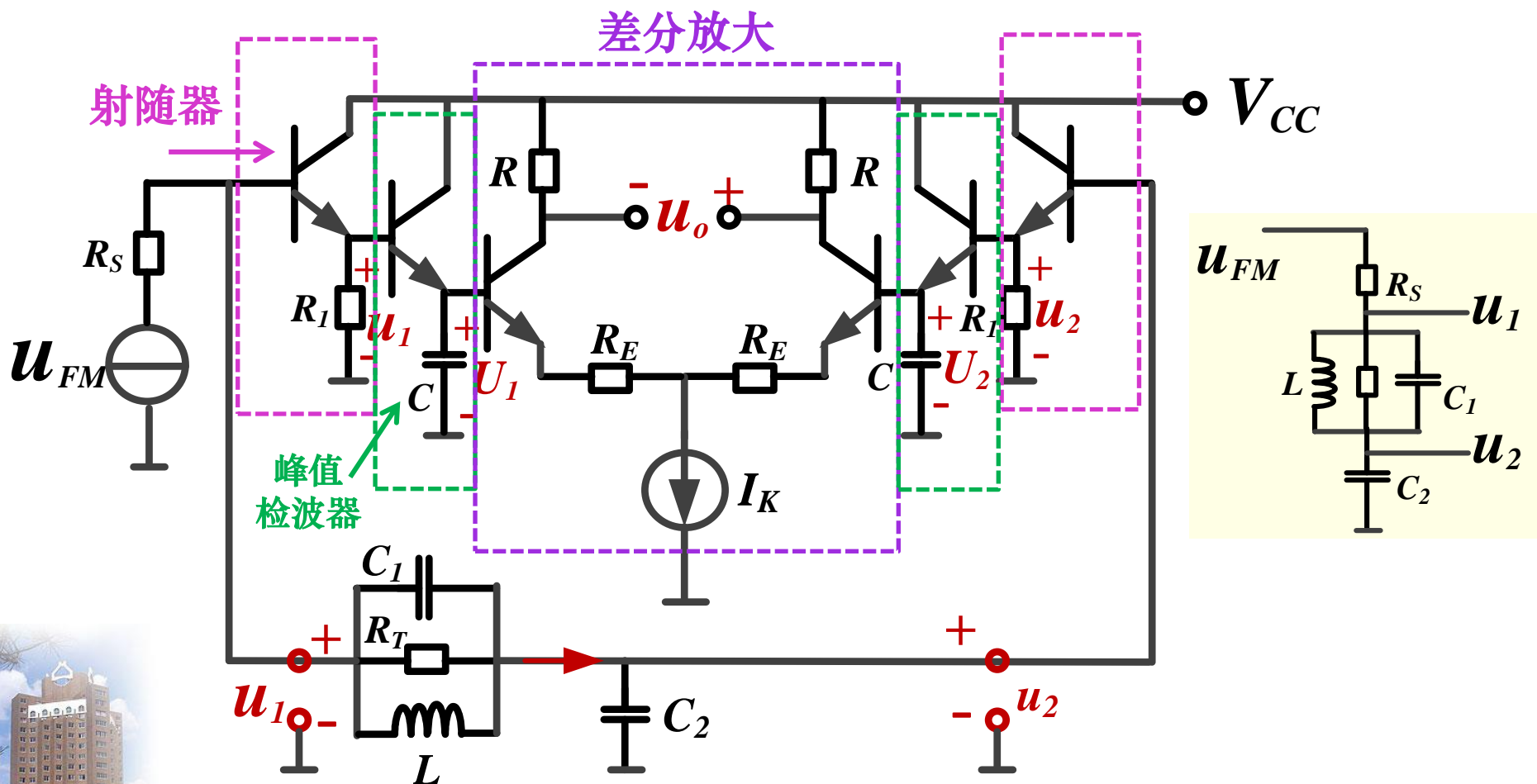


$$\Rightarrow u_o(t) = IR_T \cdot \frac{4}{5} \sqrt{\frac{3}{5}} \cdot \frac{\Delta\omega}{\alpha} s(t)$$

若 $R_{T1} \neq R_{T2}$ 或 $\delta_1 \neq \delta_2$, 将导致 u_o 在 ω_c 处不为零, 线性变差

§8.5.4 斜率鉴频器

3、用于IC的斜率鉴频器模块



§8.5.4 斜率鉴频器

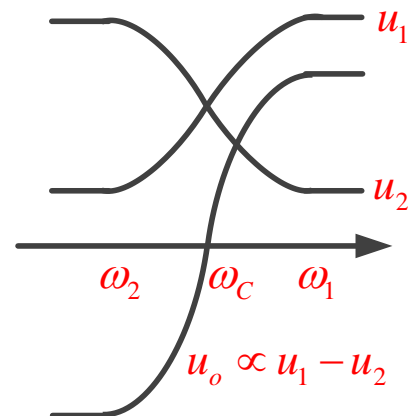
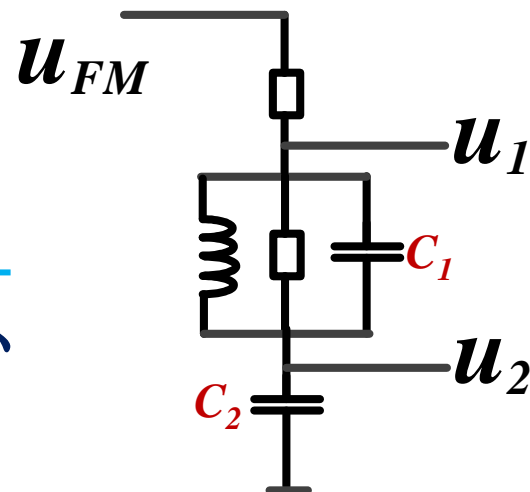
$$\omega_1^2 = \frac{1}{LC_1}, \quad \omega_2^2 = \frac{1}{L(C_1 + C_2)},$$

$$\omega_1 > \omega_2$$

- ① $\omega = \omega_1$, 并联谐振RLC的Z最大, u_1 最大, u_2 最小
- ② $\omega < \omega_1$, 并联RLC感性, 与 C_2 串联谐振
- ③ $\omega = \omega_2$, 串联谐振, Z最小, u_1 最小, u_2 最大

$$u_o(t) \propto u_1(t) - u_2(t)$$

调节L的大小, 使当 $s(t)=0$ 时, $u_o(t)=0$

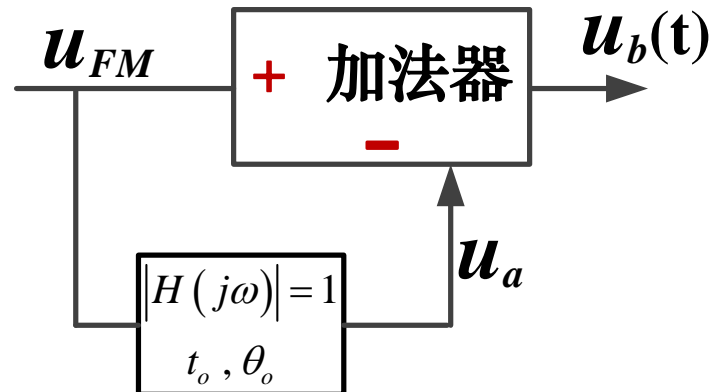


§8.5.5 相位鉴频器

1、原理

$$u_{FM} = U_{FM} \cos \left[\omega_C t + \Delta\omega \int_0^t s(\tau) d\tau \right]$$

$$u_b = U_{FM} \cos \left[\omega_C t + \Delta\omega \int_0^t s(\tau) d\tau \right] - U_{FM} \cos \left[\omega_C t + \Delta\omega \int_0^{t-t_0} s(\tau) d\tau + \theta_0 \right]$$



t_o : 延时时间
 θ_o : 载波相移

$$u_b = -2U_{FM} \sin \left\{ \frac{1}{2} \left[\Delta\omega \int_{t-t_0}^t s(\tau) d\tau - \theta_0 \right] \right\} \cdot \sin \left\{ \omega_C t + \Delta\omega \int_0^t s(\tau) d\tau - \frac{1}{2} \left[\Delta\omega \int_{t-t_0}^t s(\tau) d\tau - \theta_0 \right] \right\}$$

高频波的包络

高频波

§8.5.5 相位鉴频器

积分中值定理: $\int_a^b f(x) dx = (b-a) f(\xi), \quad \xi \in [a, b]$

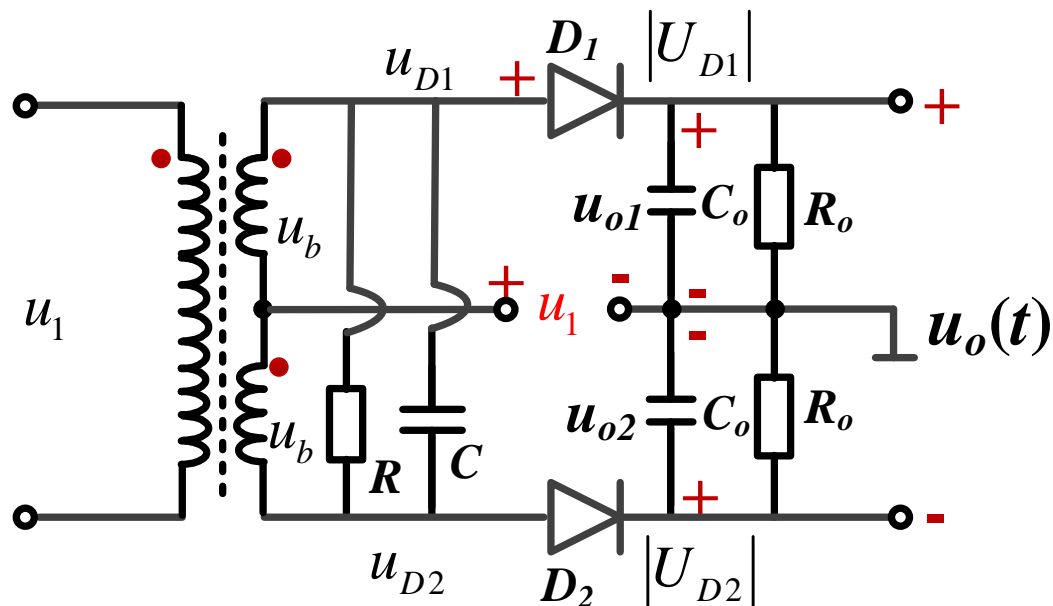
$$\Rightarrow \int_{t-t_0}^t s(\tau) d\tau = t_0 s\left(t - \frac{t_0}{2}\right) \quad \text{取 } \xi = t - \frac{t_0}{2}$$

$$\text{令 } \Delta\omega t_0 s\left(t - \frac{t_0}{2}\right) = \theta$$

$$\begin{aligned} \Rightarrow b(t) &= 2U \sin \left\{ \frac{1}{2} \left[\Delta\omega t_0 s\left(t - \frac{t_0}{2}\right) - \theta_0 \right] \right\} \\ &= 2U \sin \left[\frac{1}{2} (\theta - \theta_0) \right] = 2U \left[\sin \frac{\theta}{2} \cos \frac{\theta_0}{2} - \cos \frac{\theta}{2} \sin \frac{\theta_0}{2} \right] \\ &\stackrel{\theta \ll 2}{\approx} 2U \left[\frac{\theta}{2} \cdot \cos \frac{\theta_0}{2} - \sin \frac{\theta_0}{2} \right] = U \cdot \underbrace{\Delta\omega t_0 s\left(t - \frac{t_0}{2}\right)}_{\text{包含基带信号}} \cos \frac{\theta_0}{2} - \underbrace{2U \sin \frac{\theta_0}{2}}_{\text{直流}} \end{aligned}$$

§8.5.5 相位鉴频器

2、相位鉴频器电路

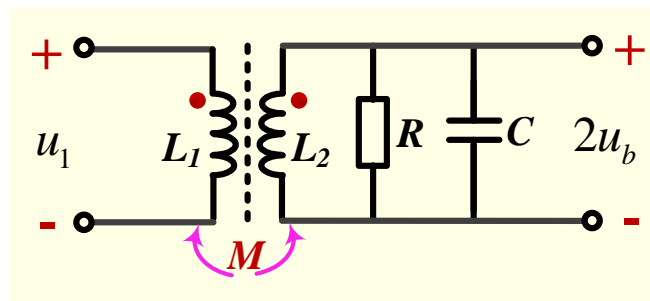


D_1 、 D_2 峰值包络检波

$$u_{D1} = u_1 + u_b, \quad u_{D2} = u_1 - u_b$$

$$u_o = u_{o1} - u_{o2} = |U_{D1}| - |U_{D2}|$$

移相网络

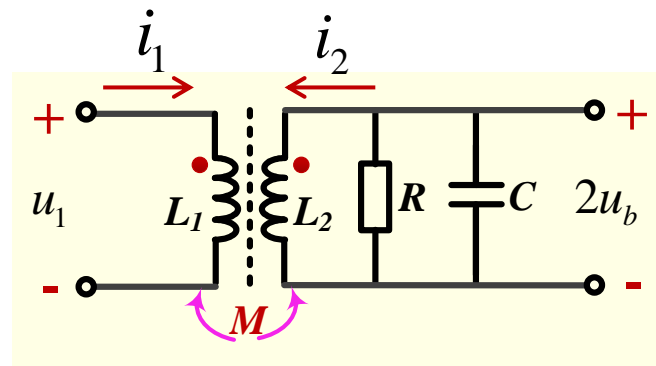


R 可以包含多个部分:

- 1) L_1 通过互感过来;
- 2) 检波负载;
- 3) L_2 中的直流电阻

§8.5.5 相位鉴频器

$$\begin{cases} u_1 = i_1 \cdot j\omega L_1 + j\omega M \cdot i_2 \\ 2u_b = i_1 \cdot j\omega M + j\omega L_2 \cdot i_2 \\ 2u_b = -i_2 \cdot \frac{R}{1 + j\omega RC} \end{cases}$$



$$L_1 = L_2 = L, \quad \alpha = \frac{1}{2RC}, \quad M = k\sqrt{L_1 L_2} = kL, \quad \omega_0^2 = \frac{1}{(1 - k^2)LC}$$

$$H(j\omega) = \frac{u_b}{u_1} = \frac{\frac{k}{2}\omega_0^2}{\omega_0^2 - \omega^2 + 2\alpha j\omega} \approx \frac{\frac{k}{2}\omega_0^2 RC}{2\omega RC(\omega_0 - \omega) + j\omega}$$

$$\omega_0^2 - \omega^2 \approx 2\omega(\omega_0 - \omega)$$

$$H(j\omega) = -j \frac{kQ_T}{2} \cdot \frac{1}{1 + j \frac{\omega - \omega_0}{\alpha}}$$

$$Q_T = \frac{\omega_0}{2\alpha} = \omega_0 RC$$

§8.5.5 相位鉴频器

$$H(j\omega) = -j \frac{kQ_T}{2} \cdot \frac{1}{1 + j \frac{\omega - \omega_0}{\alpha}}$$

若满足 $\Delta\omega \ll \alpha$ \Rightarrow $|H(j\omega)| = \frac{kQ_T}{2} \cdot \frac{1}{\sqrt{1 + \left[\frac{\Delta\omega}{\alpha} \cdot s(t) \right]^2}} \approx \frac{kQ_T}{2} = 1$ $\Rightarrow \frac{kQ_T}{2} = 1$

$$\varphi(j\omega) = -\frac{\pi}{2} - \tan^{-1} \left[\frac{\Delta\omega}{\alpha} s(t) \right] \approx -\frac{\pi}{2} - \frac{\Delta\omega}{\alpha} s(t)$$

$$\text{令 } u_1 = U \cos \left[\omega_c t + \Delta\omega \int_0^t s(\tau) d\tau \right]$$

$$\text{则 } u_b = U \cos \left[\omega_c t + \Delta\omega \int_0^t s(\tau) d\tau - \frac{\pi}{2} - \frac{\Delta\omega}{\alpha} s(t) \right]$$

§8.5.5 相位鉴频器

$$u_b = U \cos \left[\omega_c t + \Delta\omega \int_0^t s(\tau) d\tau - \frac{\pi}{2} - \frac{\Delta\omega}{\alpha} s(t) \right]$$

① 当 $s(t) = 0$ 时:

$$\omega_c = \omega_0, \quad \varphi = -\frac{\pi}{2}$$

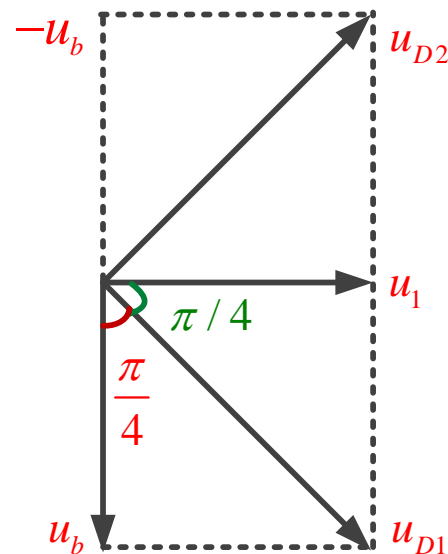
$$|u_1| = |u_b| \quad u_b = u_1 e^{j\varphi} = u_1 e^{-j\frac{\pi}{2}}$$

$$u_{D1} = u_1 + u_b$$

$$u_{D2} = u_1 - u_b$$

➡ $u_o = u_{o1} - u_{o2} = |U_{D1}| - |U_{D2}| = 0$

矢量合成



矢量合成

$$\text{令 } \frac{\Delta\omega}{\alpha} \cdot s(t) = \theta$$

$$U_{D1} = \sqrt{2}U \left| \sin \frac{\theta}{2} - \cos \frac{\theta}{2} \right| = \sqrt{2}U \left(\cos \frac{\theta}{2} - \sin \frac{\theta}{2} \right)$$

$$U_{D2} = \sqrt{2}U \left| \sin \frac{\theta}{2} + \cos \frac{\theta}{2} \right| = \sqrt{2}U \left(\cos \frac{\theta}{2} + \sin \frac{\theta}{2} \right)$$

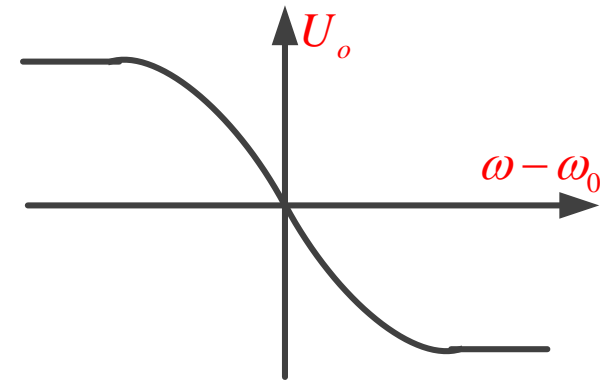
54

§8.5.5 相位鉴频器

③ $\omega(t) < \omega_0$ 同理

$$U_o = -2\sqrt{2}U \sin\left[\frac{\Delta\omega}{2\alpha} \cdot s(t)\right] \approx -\sqrt{2}U \cdot \frac{\Delta\omega}{\alpha} s(t)$$

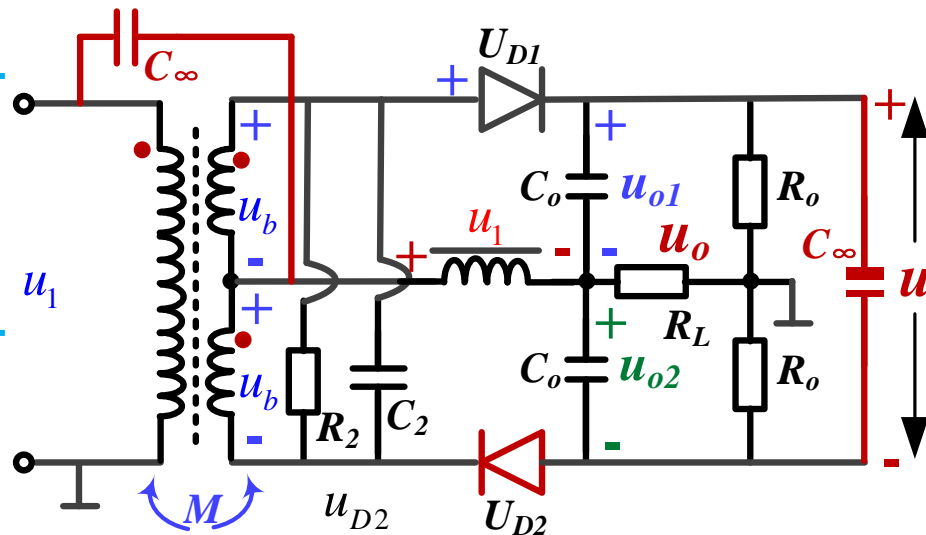
$$k_f = -\frac{\sqrt{2}U}{\alpha}$$



§8.5.5 相位鉴频器

3、比例鉴频器

- 1) D2反接
- 2) 接入 C_∞ ，滤除 u 上的小的寄生调幅
- 3) 输出 u_o 在 R_L ，对地输出



$$u_{o1} \propto U_{D1}, \quad u_{o2} \propto U_{D2}$$

$$u_{D1} = u_1 + u_b,$$

$$u_{o1} = U_{D1} = \sqrt{2}U \sqrt{1 - \sin \theta} = \sqrt{2}U \left(\cos \frac{\theta}{2} - \sin \frac{\theta}{2} \right)$$

$$u_{D2} = u_b - u_1, \quad u_{o2} = U_{D2} = \sqrt{2}U \sqrt{1 + \sin \theta} = \sqrt{2}U \left(\cos \frac{\theta}{2} + \sin \frac{\theta}{2} \right)$$

输出端电容 C_∞ 上的电压: $u = u_{o1} + u_{o2} = U_{D1} + U_{D2} = 2\sqrt{2}U \cos \frac{\theta}{2} \xrightarrow{\Delta \omega / \alpha \ll 1} 2\sqrt{2}U$

仅和输入电压幅值有关，和电路参数无关

§8.5.5 相位鉴频器

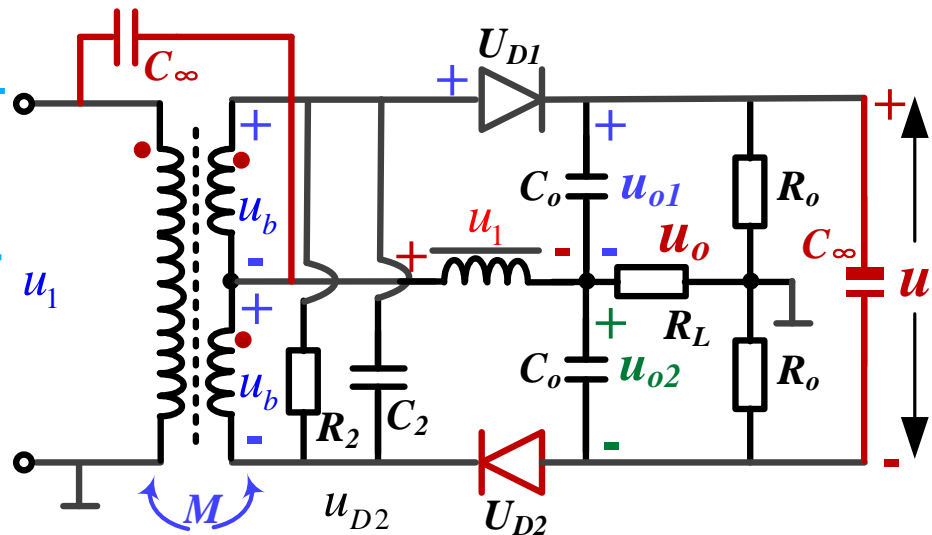
以输出端 C_∞ 负端为参考电平:

$$u_{C_0} = u_{o2} \quad u_{R_0} = \frac{1}{2}u = \frac{u_{o1} + u_{o2}}{2}$$

$$u_o = u_{C_0} - u_{R_0} = u_{o2} - \frac{u_{o1} + u_{o2}}{2}$$

$$= \frac{1}{2}(u_{o2} - u_{o1}) = \frac{(u_{o2} - u_{o1})(u_{o1} + u_{o2})}{2(u_{o1} + u_{o2})}$$

$$= \frac{1-k}{2(1+k)}(u_{o1} + u_{o2}) = \frac{1-k}{2(1+k)} \cdot u = \sqrt{2}U \cdot \frac{1-k}{1+k} \quad ; \quad k = \frac{u_{o1}}{u_{o2}}$$



输出电压的大小仅与**比例系数**相关，寄生调幅被抑制

$$u_o = \frac{1}{2}(u_{o2} - u_{o1}) = \frac{1}{2}(|U_{o2}| - |U_{o1}|) = \sqrt{2}U \sin \frac{\Delta\omega}{2\alpha} \cdot s(t)$$

输出电压幅度减小一半

§8.5.6 利用乘法器的相位鉴频器

1、基本电路

$$H(j\omega) = \frac{u_2}{u_{FM}} = \frac{j\omega C_1 R}{1 + jR \left(\omega C_1 + \omega C - \frac{1}{\omega L} \right)}$$

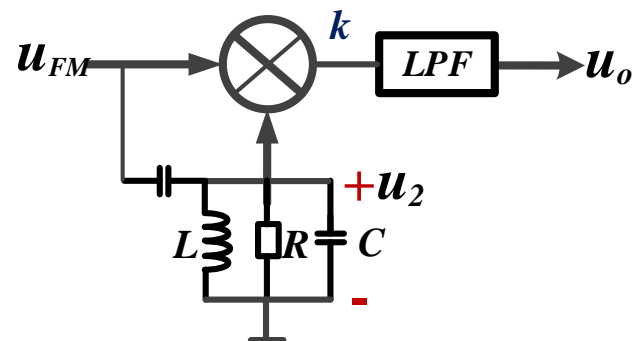
$$\text{令: } \omega_0^2 = \frac{1}{L(C_1 + C)} = \omega_c^2$$

$$H(j\omega) = \frac{j\omega C_1 R}{1 + jQ_T \cdot \frac{\omega^2 - \omega_0^2}{\omega\omega_0}} \approx \frac{j\omega C_1 R}{1 + j \frac{\Delta\omega}{\alpha} s(t)}$$

$$\text{条件 } \frac{\Delta\omega}{\alpha} \cdot s(t) \ll 1$$

$$|H(j\omega)| \approx \omega C_1 R$$

$$\varphi = \frac{\pi}{2} - \text{tg}^{-1} \frac{\Delta\omega}{\alpha} \cdot s(t)$$



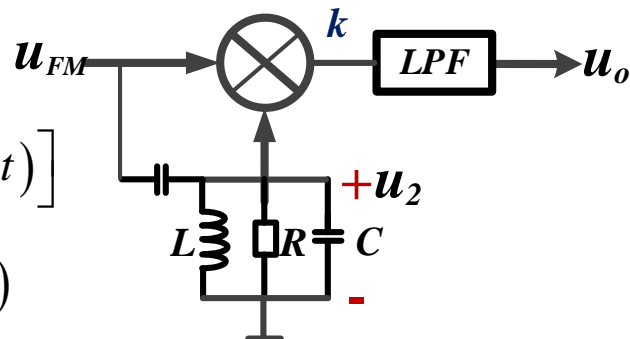
§8.5.6 利用乘法器的相位鉴频器

$$u_o' = kU_{FM}U_2 \cos \left[\omega_0 t + \Delta\omega \int s(\tau) d\tau \right] \cdot \cos \left[\omega_0 t + \Delta\omega \int s(\tau) d\tau - \varphi(t) \right]$$

$$= \frac{kU_{FM}U_2}{2} \cos \left[2\omega_0 t + 2\Delta\omega \int s(\tau) d\tau - \varphi(t) \right] + \frac{kU_{FM}U_2}{2} \cos \varphi(t)$$

高频信号，用LPF滤除

输出



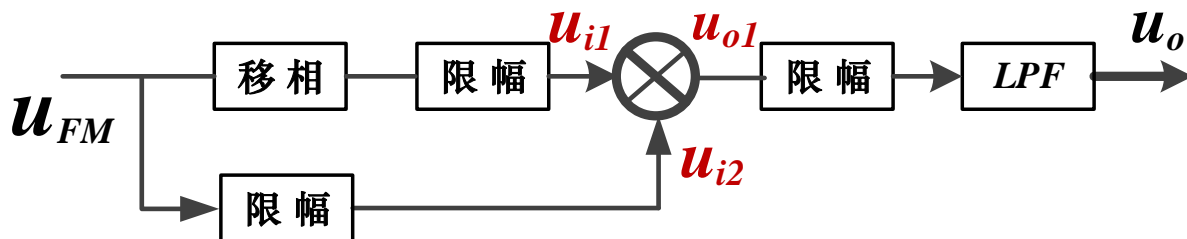
$$\varphi(t) = \frac{\pi}{2} - tg^{-1} \frac{\Delta\omega}{\alpha} \cdot s(t)$$

$$u_o \propto \cos \left[\frac{\pi}{2} - tg^{-1} \frac{\Delta\omega}{\alpha} \cdot s(t) \right] = \sin \left[tg^{-1} \frac{\Delta\omega}{\alpha} \cdot s(t) \right] \approx \frac{\Delta\omega}{\alpha} \cdot s(t)$$



§8.5.6 利用乘法器的相位鉴频器

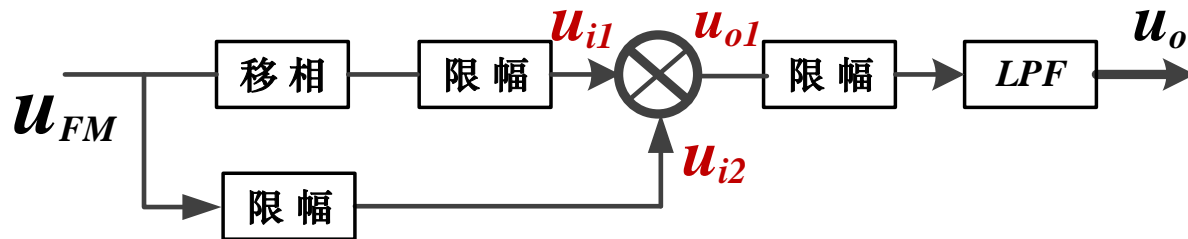
2、符合门鉴频器



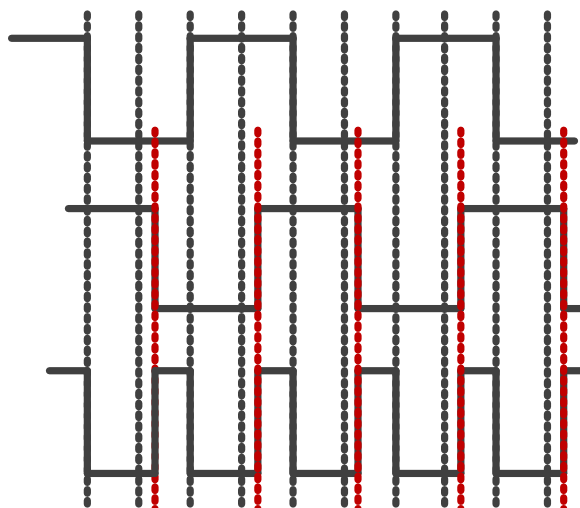
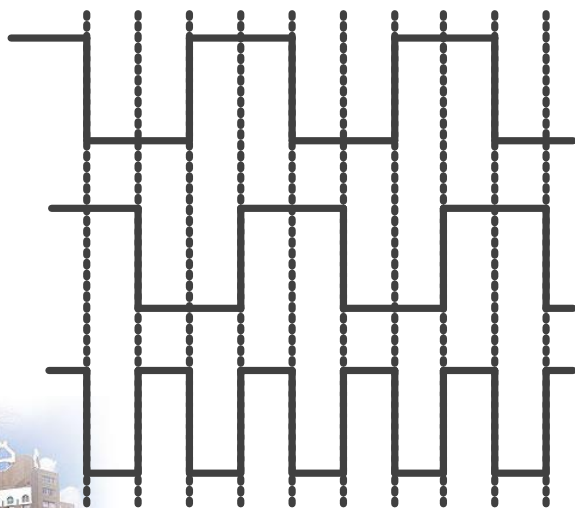
乘法器工作于开关状态， u_{i1} 、 u_{i2} 电平相同时 u_o 高电平（同或关系）

移相器移相 $\varphi = \frac{\pi}{2} - \frac{\Delta\omega}{\alpha} s(t)$

§8.5.6 利用乘法器的相位鉴频器



移相器移相 $\frac{\pi}{2} - \frac{\Delta\omega}{\alpha} s(t)$



$s(t) < 0$

$s(t) = 0, \quad \varphi = \frac{\pi}{2}, \quad u_o = 0$
(平均值=0)

$s(t) < 0$ U_{o1} 上窄下宽, 均值分量<0, 幅宽正比于 $s(t)$
 $s(t) > 0$ U_{o1} 上宽下窄, 均值分量>0, 幅宽正比于 $s(t)$